

# بررسی عددی اثرات ریزساختار بر مقاومت فشاری بتن

محمد رضا یعقوبی (کارشناس ارشد)

دانشکده مهندسی عمران، دانشگاه صنعتی شریف

شریف شاه‌بیک\* (استادیار)

دانشکده مهندسی عمران و محیط زیست، دانشگاه تربیت مدرس

ابوالحسن وفاقی (استاد)

دانشکده مهندسی عمران، دانشگاه صنعتی شریف

مهندسی عمران: شریف  
دربی ۲-۱۳۹، شماره ۲، ص. ۶۱-۷۰

در این تحقیق، ریزساختار بتن به کمک یک مدل اجزای محدود سه‌بعدی شبیه‌سازی شده است. این مدل دارای دو فاز ملات و سنگدانه‌های درشت است. شکل سنگدانه‌ها به صورت کروی و رفتار آن‌ها به صورت ارتجاعی خطی در نظر گرفته شده است. از منحنی دانه‌بندی فولر جهت بیان توزیع سنگدانه‌ها استفاده می‌شود. رفتار ملات در ساختار خمیری - خسارت<sup>۱</sup> بیان شده است. در ابتدا، نحوه پیاده‌سازی مدل خمیری - خسارت ارائه و در گام بعد، صحت پیاده‌سازی مدل خمیری - خسارت برای یک المان بررسی می‌شود. در بخش پایانی اثر درصد حجمی سنگدانه، اندازه بزرگ‌ترین سنگدانه و مدول ارتجاعی سنگدانه بر روی مقاومت فشاری مشخصه بتن مطالعه و نتایج با دستاوردهای سایر پژوهشگران مقایسه شده است.

واژگان کلیدی: ریزساختار، مقاومت فشاری بتن، روش اجزای محدود، خمیری - خسارت.

mohammadreza.yaghoobi@gmail.com  
shahbeyk@modares.ac.ir  
vafai@sharif.edu

## ۱. مقدمه

تمامی مدل توسط المان‌های اجزای محدود تقسیم‌بندی<sup>۵</sup> شده و در سطح مشترک بین المان‌های سنگدانه‌ها با ماتریس و نیز ماتریس با ماتریس، المان‌های بدون ضخامت مکانیک شکستی به‌کار رفته است. این المان‌ها توصیف‌کننده مسیرهای احتمالی ترک هستند. در دسته دوم از سیستم‌های جایگزین برای المان‌های اجزای محدود همانند المان‌های لیتیس<sup>۶</sup>، خرپا و غیره استفاده می‌شود. در سال ۱۹۹۰، نیز یک مدل خرپا برای شبیه‌سازی پدیده گسترش ترک ایجاد شد.<sup>[۴]</sup> مدل لیتیس پیشنهادی نیز روشی مطمئن برای شبیه‌سازی سازوکار گسیختگی و الگوی گسترش ترک در بتن است.<sup>[۱]</sup> در سال ۲۰۰۳ نیز بر مبنای تئوری ریزصفحات<sup>۷</sup> یک مدل لیتیس با در نظر گرفتن اثرات محصورشدگی ارائه شد.<sup>[۵]</sup> در دسته سوم، پژوهشگران از اجزای محدود برای شبیه‌سازی تمامی ریزساختار بتن استفاده می‌کنند. این روش اولین بار در سال ۱۹۸۶ مورد استفاده قرار گرفته است.<sup>[۶]</sup>

نوع دیگری از تقسیم‌بندی مدل‌های به‌کار رفته جهت شبیه‌سازی ریزساختار بتن، براساس در نظر گرفتن (و یا نگرفتن) ناحیه فصل مشترک بین ملات و سنگدانه تعریف می‌شود. بدین ترتیب مدل‌ها به ۲ صورت سه‌فازی (ملات، سنگدانه‌های درشت، و ناحیه فصل مشترک) و دوفازی (ملات و سنگدانه‌های درشت) تقسیم می‌شوند. مهم‌ترین مزیت در نظر گرفتن ناحیه فصل مشترک، توانایی شبیه‌سازی پدیده‌های موضعی در اطراف سنگدانه‌هاست. با توجه به آنکه ضخامت این فاز بسیار کوچک‌تر از ابعاد فازهای دیگر (ملات و سنگدانه‌های درشت) است، شبیه‌سازی

ریزساختار کاملاً ناهمگن بتن موجب پیچیدگی بسیار رفتار این ماده شده است. در عمل نمی‌توان فقط با تکیه بر نتایج آزمایشگاهی، تمام ابعاد رفتاری این ماده را درک کرد. بنابراین به منظور شناخت بهتر رفتار بتن، مطالعات نظری برای تحلیل اثر اندرکنش اجزای مختلف تشکیل‌دهنده بتن (ریزساختار بتن) صورت می‌پذیرد که منجر به پیدایش روابط ساختاری بتن در بزرگ‌مقیاس می‌شود. بتن باید به‌عنوان یک ماده مرکب کامل (با همه اجزای ریزمقیاس) به‌گونه‌ی کامل و واقعی شبیه‌سازی شود. شبیه‌سازی‌های عددی با به‌کارگیری روش‌های تئوری و تجربی می‌تواند به‌منزله ایباری مهم برای بررسی رفتار مواد مرکب، از جمله بتن، در نظر گرفته شود. ریزساختار بتن شامل قسمت‌های گوناگونی همانند سنگدانه‌های ریز و درشت، چسب سیمانی، ناحیه فصل مشترک بین ملات و سنگدانه<sup>۲</sup>، حفره‌ها و ریزترک‌ها است. باید توجه داشت که به دلیل تفاوت زیاد در اندازه‌ی این قسمت‌ها، ارائه‌ی مدلی جامع با امکانات موجود که اثرات همه‌ی این بخش‌ها را در نظر گیرد، کار بسیار دشواری است. به‌صورت کلی می‌توان این مدل‌ها را دست‌کم به ۳ دسته‌ی کلی تقسیم‌بندی کرد: در دسته اول، از ترکیب المان‌های متداول در اجزای محدود و المان‌های مرزی<sup>۳</sup> استفاده می‌شود. در برخی پژوهش‌های پیشین،<sup>[۱]، [۲]</sup> بتن به‌صورت تعداد زیادی سنگدانه که در داخل ماتریس<sup>۴</sup> (ملات) قرار گرفته‌اند، شبیه‌سازی شده است.

\* نویسنده مسئول

تاریخ دریافت: ۱۳۸۹/۱۲/۲۴، اصلاحیه ۱۳۹۰/۰۹/۲۱، پذیرش ۱۳۹۰/۰۳/۰۳.

و یا با کره‌های قبلی تداخل داشته باشند، پذیرفته نمی‌شوند. این عملیات تا آنجا ادامه می‌یابد که نمونه با درصد حجمی سنگدانه‌ی موردنظر پر شود. باید توجه کرد که اندازه‌ی سنگدانه‌ها باید از یک منحنی دانه‌بندی تبعیت کند. در این تحقیق از منحنی دانه‌بندی فولر استفاده شده است. این منحنی با استفاده از رابطه‌ی ۱ تعریف می‌شود:

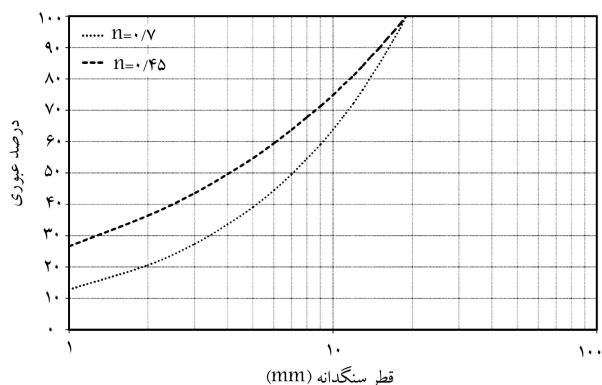
$$P(d) = 100 \left( \frac{d}{d_{max}} \right)^n \quad (1)$$

در این رابطه،  $P(d)$  درصد جمععی عبوری از الک با اندازه‌ی سوراخ‌های  $d$ ،  $d_{max}$  اندازه‌ی قطر بزرگ‌ترین سنگدانه، و  $n$  توان معادله است ( $n$  می‌تواند در بازه‌ی ۰٫۴۵ تا ۰٫۷ تغییر کند). منحنی‌های مورداستفاده در این تحقیق بین دو منحنی که با دو مقدار حدی  $n$  رسم شده‌اند، قرار می‌گیرند (شکل ۱).

برای بررسی اثرات درصد حجمی سنگدانه‌ها بر مقاومت فشاری مشخصه‌ی بتن، ۴ نمونه‌ی مکعبی با اندازه‌ی ۸۰ میلی‌متر ایجاد شده است که درصد حجمی سنگدانه‌ی متفاوتی دارند (جدول ۱).

هندسه‌ی این نمونه‌ها در شکل ۲ نمایش داده شده‌اند. بارگذاری نمونه‌های بتنی از نوع اعمال تغییرمکان است. علت اعمال تغییرمکان‌ها بر روی نمونه‌ی بتنی، مشاهده‌ی اثر نرم‌شدگی در راستای بارگذاری است.

به‌منظور بررسی اثر اندازه‌ی بزرگ‌ترین سنگدانه در مقاومت بیشینه‌ی آن، سه نمونه‌ی بتنی با درصد حجمی ۱۵٪ سنگدانه با بزرگ‌ترین اندازه‌ی ۸، ۱۵ و ۱۹ میلی‌متر بررسی شده است (شکل ۳). تعداد دانه‌ها در این نمونه‌ها به ترتیب برابر ۶۶۸، ۳۲۳ و ۲۴۲ است. منحنی دانه‌بندی این نمونه‌ها نیز از رابطه‌ی ۱ مشخص می‌شود.



شکل ۱. منحنی دانه‌بندی استفاده‌شده برای سنگدانه‌ها ( $n = 0.7$  و  $n = 0.45$ ).

جدول ۱. مشخصات نمونه‌های بتنی برای بررسی اثرات درصد حجمی سنگدانه‌ها در مقاومت فشاری مشخصه بتن.

شماره‌ی نمونه	درصد حجمی سنگدانه‌ها	درصد حجمی کل سنگدانه‌ها	تعداد دانه‌ها
۱	۱۱	۲۰	۱۷۹
۲	۲۲	۴۰	۳۶۹
۳	۲۷	۵۰	۵۰۹
۴	۴۱	۷۵	۸۷۸

سه‌بعدی و سه‌فازی بتن در یک مدل و به‌صورت غیرخطی با امکانات موجود، کاری بسیار دشوار است. به همین دلیل، بیشتر مدل‌های غیرخطی سه‌فازی موجود، فقط به‌صورت دویبعدی هستند.<sup>[۷]</sup> به همین سبب، شبیه‌سازی سه‌بعدی بتن به‌صورت دوفازی (به ویژه در مسائلی که خصوصیات غیرخطی بتن بررسی می‌شود) دارای محبوبیت زیادی است.<sup>[۹]</sup>

در این تحقیق، ریزساختار بتن توسط یک مدل دوفازی سه‌بعدی اجزای محدودی شبیه‌سازی شده است. فرض می‌شود که سنگدانه‌ها به‌صورت کروی هستند. رفتار سنگدانه‌های درشت، همان‌گونه که در بیشتر تحقیقات پیشین فرض شده است،<sup>[۷-۹]</sup> به‌صورت ارتجاعی خطی در نظر گرفته می‌شود. با توجه به آن که ملات دارای ریزساختاری مشابه بتن است (هر دو دارای سنگدانه، ملات، ناحیه‌ی فصل مشترک بین ملات و سنگدانه، ریزترک و حفره‌ها هستند)، می‌توان از روابط ساختاری بتن برای شبیه‌سازی ملات استفاده کرد. بنابراین از مدل خمیری-خسارت ارائه‌شده‌ی لی و فنوس<sup>[۱۲]</sup> که در سال ۲۰۰۹ اصلاح شده است،<sup>[۱۳]</sup> برای شبیه‌سازی رفتار ملات همگن شده استفاده می‌شود. در این تحقیق، ابتدا نحوه‌ی پیاده‌سازی مدل خمیری-خسارت لی و فنوس اصلاح‌شده توضیح داده و سپس صحت‌سنجی می‌شود. در گام دوم با تولید یک مدل سه‌بعدی دوفازی، نمونه‌های بتنی به کمک روش اجزای محدود استاندارد شبیه‌سازی می‌شوند. در گام نهایی اثر درصد حجمی سنگدانه، اندازه‌ی بزرگ‌ترین سنگدانه، و مدول ارتجاعی سنگدانه بر روی مقاومت فشاری مشخصه‌ی بتن مطالعه و نتایج به‌دست‌آمده با مشاهدات سایر پژوهشگران مقایسه می‌شود.

## ۲. هندسه‌ی نمونه‌های بتنی

در بررسی ریزساختار بتن، باید کلیه‌ی مشخصات هندسی نمونه‌ها، شامل شکل نمونه‌های بتنی، اندازه‌ی نمونه‌ها، هندسه‌ی سنگدانه‌ها، و توزیع سنگدانه‌ها به‌دقت شبیه‌سازی شوند. در کار بردهای عملی، هر دو نمونه‌ی استوانه‌ای و مکعبی جهت انجام آزمایش بر روی بتن به‌کار می‌روند. در این تحقیق از نمونه‌های مکعبی استفاده شده است. به‌منظور حذف اثرات تصادفی ریزساختار بر نتایج، کمیته‌ی اندازه‌ی نمونه‌های مکعبی باید براساس مفهوم RVE<sup>۸</sup> انتخاب شوند. در این تحقیق نمونه‌ی مکعبی ۸۰ میلی‌متری به‌عنوان حجم مشخصه انتخاب شده است.

از دیدگاه محاسباتی، شبیه‌سازی تمامی سنگدانه‌ها (با هر اندازه‌ی) ناممکن است. به سبب آن که بسیاری از استانداردها از الک شماره‌ی ۴ (با قطر سوراخ‌های برابر ۴٫۷۵ میلی‌متر) به‌منزله‌ی مرز بین سنگدانه‌های درشت و ریز استفاده می‌کنند، این اندازه به‌صورت معمول به‌عنوان حد پایین اندازه‌ی سنگدانه‌ها منظور می‌شود.<sup>[۱۴-۱۶]</sup> به عبارت دیگر، سنگدانه‌های با قطر کوچک‌تر از ۴٫۷۵ میلی‌متر به‌عنوان قسمتی از فاز ملات همگن شده در نظر گرفته می‌شوند. حد بالای اندازه‌ی سنگدانه در این تحقیق ۱۹ میلی‌متر فرض شده است. باید توجه کرد که در این تحقیق منظور از درصد حجمی سنگدانه‌ها، درصد حجمی سنگدانه‌های درشت (با قطر بزرگ‌تر از ۴٫۷۵ میلی‌متر) و منظور از درصد حجمی کل سنگدانه‌ها، درصد حجمی کل سنگدانه‌های ریز و درشت است.

به منظور سهولت انجام عملیات جای‌گذاری سنگدانه‌ها در فضا، سنگدانه‌ها به‌صورت کروی فرض می‌شوند. در میان همه‌ی روش‌های موجود برای چیدن سنگدانه‌ها در فضا از روش SSI<sup>۹</sup> استفاده شده است.<sup>[۱۷]</sup> در این روش کره‌هایی با اندازه‌ی تصادفی به‌صورت پشت سر هم ایجاد می‌شوند و به‌صورت تصادفی در قسمتی از فضا قرار می‌گیرند. اگر این کره‌ها خارج از محدوده‌ی نمونه قرار گیرند

جدول ۲. اطلاعات اجزای محدود نمونه‌های بتنی جهت بررسی اثرات درصد حجمی سنگدانه‌ها در مقاومت فشاری مشخصه بتن.

شماره‌ی نمونه	تعداد المان‌ها	تعداد گره‌ها
۱	۲۴۸۹۲۸	۴۲۹۲۵
۲	۲۹۶۹۶۶	۵۱۱۹۳
۳	۳۳۸۰۹۰	۵۸۳۰۵
۴	۴۲۰۱۳۷	۷۲۶۸۵

جدول ۳. اطلاعات اجزای محدود نمونه‌های بتنی جهت بررسی اثر اندازه بزرگترین سنگدانه در مقاومت فشاری مشخصه بتن.

اندازه‌ی بزرگ‌ترین سنگدانه	تعداد المان‌ها	تعداد گره‌ها
۸	۶۲۲۸۶۵	۱۰۵۲۹۶
۱۵	۳۲۵۷۸۵	۵۵۸۵۳
۱۹	۲۶۲۹۲۰	۴۵۳۱۹

ریزترک، و حفره‌ها هستند)، می‌توان از روابط ساختاری بتن برای شبیه‌سازی ملات استفاده کرد. بنابراین مدل خمیری-خسارت لی و فنوس<sup>[۱۲]</sup> که در سال ۲۰۰۹ [۱۳] اصلاح شده است، جهت بیان رفتار ملات همگن شده استفاده می‌شود. باید توجه داشت که این اصلاحات مبانی مدل لی و فنوس را تغییر نمی‌دهند.

در مدل رفتاری لی و فنوس اصلاح شده، برای نمایش وضعیت خرابی در ماده ۲ متغیر اسکالر کششی و فشاری به‌کار می‌رود. سطح تسلیم در این مدل براساس رابطه‌ی ارائه شده توسط لوبلینر و همکارانش<sup>[۱۸]</sup> بیان شده است. روابط ساختاری ارتجاعی-خمیری از روابط خرابی مجزا شده‌اند. سطح تسلیم در فضای تنش مؤثر ( $\bar{\sigma}$ ) تعریف می‌شود. هر چند در این مدل خرابی همسان‌گرد است، اما برای متغیر فشاری و کششی خرابی، دو مسیر رشد جداگانه فرض می‌شود. این روش بر مبنای تئوری تغییرشکل‌های کوچک ارائه شده است که برای شبیه‌سازی بتن کفایت می‌کند. خرابی کششی و فشاری به ترتیب با دو متغیر کرنش خمیری معادل کششی  $\bar{\epsilon}_t^p$  و  $\bar{\epsilon}_c^p$  فشاری کنترل می‌شوند. مقادیر  $\bar{\epsilon}_t^p$  و  $\bar{\epsilon}_c^p$  با استفاده از رابطه‌ی ۲ تعریف می‌شوند.

$$\bar{\epsilon}_{c,t}^p = \int_0^t \dot{\epsilon}_{c,t}^p dt \quad (2)$$

که در آن:

$$\dot{\epsilon}^p = \begin{bmatrix} \dot{\epsilon}_t^p \\ \dot{\epsilon}_c^p \end{bmatrix} = \mathbf{h} \cdot \dot{\epsilon}^p \quad \mathbf{h} = \begin{bmatrix} r(\hat{\sigma}) & 0 & 0 \\ 0 & 0 & -1 + r(\hat{\sigma}) \end{bmatrix} \quad (3)$$

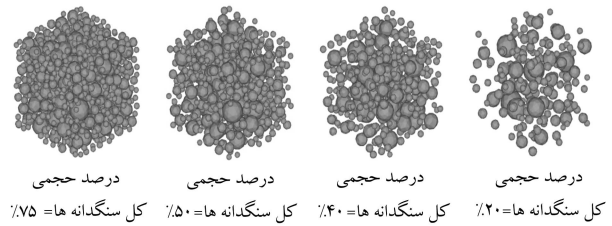
$$r(\hat{\sigma}) = \frac{\sum_{i=1}^2 \langle \hat{\sigma}_i \rangle}{\sum_{i=1}^2 |\hat{\sigma}_i|}$$

در رابطه‌ی ۳،  $\hat{\sigma}$  و  $\hat{\epsilon}^p$  به ترتیب ماتریس مقادیر ویژه نرخ کرنش خمیری و تنش هستند.  $\langle x \rangle$  براکت ماکولی است که به صورت رابطه‌ی ۴ تعریف می‌شود:

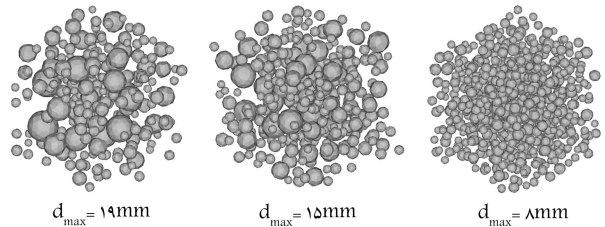
$$\langle x \rangle = (|x| + x)/2 \quad (4)$$

معادله‌ی سطح تسلیم در فضای تنش مؤثر بیان می‌شود. با توجه به اسکالر بودن خرابی، رابطه‌ی بین تنش مؤثر ( $\bar{\sigma}$ ) و تنش ( $\sigma$ ) به صورت رابطه‌ی ۵ است:

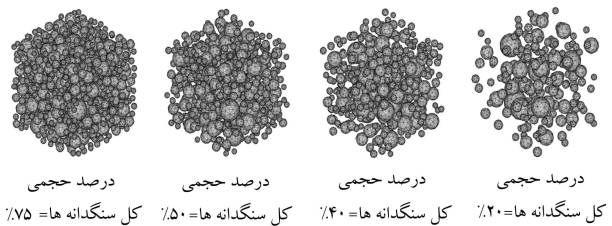
$$\bar{\sigma} = \mathbf{E} \cdot \epsilon : (\epsilon - \epsilon^p) = \frac{\sigma}{1 - d} \quad (5)$$



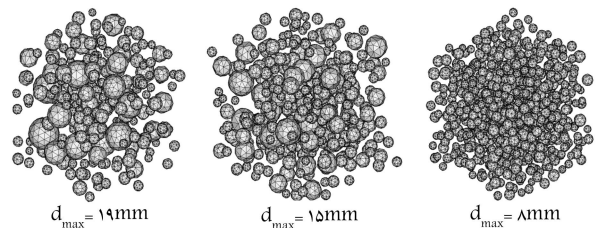
شکل ۲. هندسه‌ی نمونه‌های بتنی دارای مقادیر مختلف درصد حجمی سنگدانه.



شکل ۳. هندسه‌ی نمونه‌های بتنی دارای مقادیر مختلف بزرگ‌ترین سنگدانه.



شکل ۴. شبکه‌بندی نمونه‌های بتنی دارای مقادیر مختلف درصد حجمی سنگدانه.



شکل ۵. شبکه‌بندی نمونه‌های بتنی دارای مقادیر مختلف بزرگ‌ترین سنگدانه.

### ۳. مدل اجزای محدود

در این تحقیق، برای هر یک از نمونه‌های بتنی یک شبکه‌بندی ایجاد شده است که در تمام آن‌ها از المان‌های ۴ گره‌یی هرمی استفاده شده است. شکل‌های ۴ و ۵ المان‌بندی ایجاد شده برای نمونه‌های مختلف بتنی را نمایش می‌دهند. اطلاعات اجزای محدود این دو نمونه در جدول‌های ۲ و ۳ ارائه شده‌اند. جهت انجام تحلیل‌ها از یک رایانه با پردازنده‌ی اینتل ۸۴۰۰ دوهسته‌یی دارای ۳ گیگابایت حافظه استفاده شده است.

### ۴. مدل رفتاری ریزساختار

در این تحقیق، رفتار سنگدانه‌های درشت به صورت ارتجاعی خطی در نظر گرفته شده است. مدول ارتجاعی سنگدانه برابر ۵ گیگاپاسکال و ضریب پواسون آن برابر ۰٫۱۷ قرار داده شده است. با توجه به آن که ملات دارای ریزساختاری مشابه بتن است (هر دو دارای سنگدانه، ملات، ناحیه‌ی فصل مشترک بین ملات و سنگدانه،

در این رابطه،  $\epsilon$ ،  $\mathbf{E}$  و  $\epsilon^p$  به ترتیب تانسور سختی ارتجاعی اولیه، کرنش، و کرنش خمیری و  $d$  متغیر اسکالر خرابی است. متغیر  $d$  براساس دو متغیر خرابی تک محوری کششی  $d_t$  و فشاری  $d_c$  تعیین می‌شود (رابطه‌ی ۶).

$$d = 1 - [1 - d_c(\bar{\epsilon}_c^p)] [1 - r(\hat{\sigma}) d_t(\bar{\epsilon}_t^p)] \quad (6)$$

تابع تسلیم مدل لی و فنوس اصلاح شده به صورت رابطه‌ی ۷ بیان می‌شود: [۱۳]

$$F(\bar{\sigma}, \bar{\epsilon}^p) = \frac{1}{1 - \alpha} \left[ \alpha \bar{I}_1 + \sqrt{3} \bar{J}_2 + \beta(\bar{\epsilon}^p) \langle \hat{\sigma}_{\max} \rangle - \gamma \langle -\hat{\sigma}_{\max} \rangle \right] - c_c(\bar{\epsilon}^p) \quad (7)$$

با در نظر گرفتن تنش تسلیم اولیه در حالت تک محوری فشاری  $f_{c^0}$  و دومی فشاری  $f_{b^0}$ ، ثابت  $\alpha$  از رابطه‌ی ۸ به دست می‌آید:

$$\alpha = \frac{f_{b^0} - f_{c^0}}{2f_{b^0} - f_{c^0}} \quad (8)$$

$\gamma$  ثابت مدل است که از رابطه‌ی ۹ به دست می‌آید:

$$\gamma = \frac{3(1 - K_c)}{2K_c - 1} \quad 0.5 < K_c \leq 1.0 \quad (9)$$

اگر در هنگام تسلیم اولیه  $\hat{\sigma}_{\max} < 0$  و  $(\sqrt{J_2})$  در نصف النهار کششی توسط  $(\sqrt{J_2})_{CM}$  و در نصف النهار فشاری توسط  $(\sqrt{J_2})_{TM}$  نمایش داده شود،  $K_c$  در هر مقدار  $\bar{I}_1$  به صورت رابطه‌ی ۱۰ محاسبه می‌شود: [۱۸]

$$K_c = \frac{(\sqrt{J_2})_{TM}}{(\sqrt{J_2})_{CM}} \quad (10)$$

$\bar{I}_1$  نامتغیر اول تانسور تنش مؤثر و  $\bar{J}_2$  نامتغیر دوم تانسور تنش انحرافی مؤثر،  $\hat{\sigma}_{\max}$  بزرگ‌ترین مقدار تنش اصلی مؤثر است.  $\beta(\bar{\epsilon}^p)$  به صورت رابطه‌ی ۱۱ تعریف می‌شود:

$$\beta(\bar{\epsilon}^p) = \frac{\bar{\sigma}_c(\bar{\epsilon}_c^p)}{\bar{\sigma}_t(\bar{\epsilon}_t^p)} (1 - \alpha) - (1 + \alpha) \quad (11)$$

در این رابطه،  $\bar{\sigma}_c(\bar{\epsilon}_c^p)$  و  $\bar{\sigma}_t(\bar{\epsilon}_t^p)$  به ترتیب برابر مقاومت کششی و فشاری مؤثر هستند که مقدار آن‌ها همواره مثبت است. در این مدل از تابع جریان غیروابسته<sup>۱۰</sup> استفاده شده است که به صورت رابطه‌ی ۱۲ تعریف می‌شود:

$$\phi = \sqrt{3} \bar{J}_2 + \alpha_p \frac{\bar{I}_1}{3} \quad (12)$$

ثابت  $\alpha_p$  باید به گونه‌ی انتخاب شود تا رفتار اتساعی<sup>۱۱</sup> مناسب به دست آید. توجه به رابطه‌ی ۱۲، مقدار تانسور نرخ کرنش خمیری به صورت رابطه‌ی ۱۳ تعریف می‌شود:

$$\dot{\epsilon}^p = \dot{\gamma} \frac{\partial \phi}{\partial \bar{\sigma}} = \dot{\gamma} \left( \sqrt{\frac{3}{2}} \frac{\bar{s}}{\|\bar{s}\|} + \frac{\alpha_p \mathbf{I}}{3} \right) \quad (13)$$

نحوه‌ی پیاده‌سازی این مدل خمیری - خسارت در بخش پنجم ارائه شده است.

## ۵. پیاده‌سازی عددی

پیاده‌سازی مدل خمیری - خسارت بتن براساس روش ارائه شده‌ی لی و فنوس [۱۹] انجام شده است. لی و فنوس [۱۹] یک الگوریتم نگاشت بازگرداننده<sup>۱۲</sup> برای طیف گسترده‌ی از مدل‌های خمیری - خسارت ارائه کرده‌اند. این روش برای محدوده‌ی کرنش‌های کوچک ارائه شده است. در این روش از تنش‌های اصلی برای روش‌های تکراری محاسبه‌ی متغیرهای داخلی مدل‌های خمیری - خسارت استفاده می‌شود. بنابراین، در مدل‌هایی که در آن‌ها از تنش‌های اصلی استفاده شده است، دیگر نیازی نیست که مقادیر ویژه در هر تکرار محاسبه شوند. با استفاده از این روش، روابط موردنیاز جهت پیاده‌سازی عددی، برای مدل اصلاح شده‌ی لی و فنوس به دست می‌آیند. با استخراج این روابط، مدل خمیری - خسارت بتن در یک نرم‌افزار اجزای محدودی پیاده‌سازی می‌شود. در قسمت بعد، نتایج به دست آمده برای یک المان در حالت‌های بارگذاری متفاوت با نتایج به دست آمده از نرم‌افزار آباکوس<sup>۱۳</sup> مقایسه می‌شوند.

### ۱.۵. مجزا کردن زمانی<sup>۱۴</sup> مدل خمیری - خسارت

مراحل مجزا کردن زمانی و انتگرال‌گیری عددی در این بخش ارائه می‌شوند. اگر از روش کلی نقطه‌ی میانی<sup>۱۵</sup> و حالت غیرخطی روش  $\alpha$  [۲۰] جهت انتگرال‌گیری معادله‌ی حرکت در گام زمانی  $t_{n+1}$  استفاده شود، نیروی داخلی  $\mathbf{P}$  به عنوان تابعی از مقدار تغییر مکان  $\mathbf{u}_{n+\varphi}$  بیان می‌شود: [۲۱]

$$\mathbf{M} \ddot{\mathbf{u}}_{n+1} + \mathbf{P}(\mathbf{u}_{n+\varphi}) = \mathbf{F}_{n+\varphi} \quad (14)$$

در این رابطه،  $\ddot{\mathbf{u}}$  شتاب،  $\mathbf{M}$  جرم،  $F$  نیروی خارجی،  $\varphi < 1$  و مقادیر میانی تغییر مکان و بار خارجی از رابطه‌ی ۱۵ تعیین می‌شوند:

$$\begin{aligned} \mathbf{u}_{n+\varphi} &= (1 - \varphi) \mathbf{u}_n + \varphi \mathbf{u}_{n+1} \\ \mathbf{F}_{n+\varphi} &= (1 - \varphi) \mathbf{F}_n + \varphi \mathbf{F}_{n+1} \end{aligned} \quad (15)$$

میدان‌های سرعت و شتاب را می‌توان با استفاده از روابط نیومارک محاسبه کرد. به دلیل آن که  $\mathbf{P}$  در روش‌های اجزای محدود از میدان تنش محاسبه می‌شود، مسئله‌ی محاسبه‌ی تنش (لی و فنوس [۱۹]) به این صورت مطرح می‌شود.

برای مجموعه‌ی متغیرهای داده شده‌ی  $\{\epsilon_{n+\varphi}, \epsilon_n^p, \bar{\epsilon}_n^p\}$  در حالی که  $\epsilon_{n+\varphi} = \nabla^{(s)} \mathbf{u}_{n+\varphi}$ ، مجموعه‌ی متغیرهای  $\{\sigma_{n+\varphi}, \epsilon_{n+1}^p, \bar{\epsilon}_{n+1}^p\}$  باید محاسبه شوند. با توجه به رابطه‌ی ۵، تنش در گام  $t_{n+\varphi}$  به صورت رابطه‌ی ۱۶ بیان می‌شود:

$$\sigma_{n+\varphi} = \bar{\sigma}_{n+\varphi} (1 - d_{n+\varphi}) \quad (16)$$

و تنش مؤثر به صورت رابطه‌ی ۱۷ بازنویسی می‌شود:

$$\begin{aligned} \bar{\sigma}_{n+\varphi} = \mathbf{E} : (\epsilon_{n+\varphi} - \epsilon_{n+\varphi}^p) &= 2G (\epsilon_{n+\varphi} - \epsilon_{n+\varphi}^p) \\ &+ \lambda (\theta_{n+\varphi} - \theta_{n+\varphi}^p) \mathbf{I} \end{aligned} \quad (17)$$

در این رابطه،  $G$  مدول برشی و  $\lambda$  ثابت لمه<sup>۱۶</sup>  $\theta = tr \epsilon$  و  $\mathbf{I}$  نشانگر تانسور یکه‌ی درجه‌ی دو است. با توجه به رابطه‌ی ۱۵، مقدار میانی کرنش خمیری از رابطه‌ی ۱۸ به دست می‌آید:

$$\epsilon_{n+\varphi}^p = (1 - \varphi) \epsilon_n^p + \varphi \epsilon_{n+1}^p = \epsilon_n^p + \varphi (\Delta \epsilon^p) \quad (18)$$

با جای‌گذاری رابطه‌ی ۱۸ در رابطه‌ی ۱۷، رابطه‌ی ۱۹ به دست می‌آید:

$$\bar{\sigma}_{n+\varphi} = \sigma_{n+\varphi}^{tr} - \varphi \mathbf{E}_0 : \Delta \varepsilon^p = \sigma_{n+\varphi}^{tr} - \varphi (2G \Delta \varepsilon^p + \bar{\lambda} \Delta \bar{\theta}^p \mathbf{I}) \quad (19)$$

در حالت سه‌بعدی و یا کرنش صفحه‌یی  $\bar{\lambda} = \lambda$  و  $\Delta \bar{\theta}^p = \Delta \theta^p$  می‌شود. در رابطه‌ی ۱۹، تنش آزمون<sup>۱۷</sup> به صورت رابطه‌ی ۲۰ بیان می‌شود:

$$\sigma_{n+\varphi}^{tr} = \mathbf{E}_0 : (\varepsilon_{n+\varphi} - \varepsilon_n^p) \quad (20)$$

با توجه به رابطه‌های ۱۶ الی ۲۰، محاسبه‌ی تنش را می‌توان در ۳ گام اساسی: پیش‌بینی ارتجاعی  $(\sigma_{n+\varphi}^{tr})$ ، اصلاح خمیری  $(\Delta \varepsilon^p)$ ، و اصلاح خرابی  $(-d_{n+\varphi} \bar{\sigma}_{n+\varphi})$  نمایش داد. به دلیل آن که  $d_{n+\varphi}$  تابعی از  $\bar{\sigma}_{n+\varphi}$  و  $\bar{\varepsilon}_{n+\varphi}^p$  است که به‌طور کامل در مرحله‌ی اصلاح خمیری تعیین می‌شوند، اصلاح خرابی به صورت جداگانه از اصلاح خمیری انجام می‌پذیرد. برای محاسبه‌ی  $\Delta \varepsilon^p$  در معادله‌ی ۱۸، از نرخ کرنش خمیری در معادله‌ی ۱۳، با استفاده از روش کلی نقطه-میانی، انتگرال‌گیری می‌شود (رابطه‌ی ۲۱).

$$\Delta \varepsilon^p = \Delta \Upsilon \frac{\partial \varphi}{\partial \bar{\sigma}_{n+\varphi}} \quad (21)$$

با توجه به رابطه‌ی ۱۸، مقدار کرنش خمیری در انتهای گام زمانی  $(\varepsilon_{n+1}^p)$  به صورت رابطه‌ی ۲۲ به دست می‌آید:

$$\varepsilon_{n+1}^p = \varepsilon_{n+\varphi}^p + (1 - \varphi) \Delta \varepsilon^p \quad (22)$$

به صورت مشابه، با استفاده از روش کلی نقطه-میانی و استفاده از رابطه‌ی ۳،  $\bar{\varepsilon}_{n+\varphi}^p$  محاسبه می‌شود.

با توجه به آن که روش کلی نقطه-میانی برای حل معادله‌ی حرکت و مسئله‌ی محاسبه‌ی تنش بدون نقص نیست، از روش جابجاشده‌ی پس‌رونده‌ی اولر<sup>۱۸</sup> برای حل مسئله‌ی محاسبه‌ی تنش استفاده می‌شود.<sup>[۲۱]</sup> در این روش، به جای آن که کرنش خمیری و متغیرهای داخلی دیگر در زمان  $t_{n+1}$  محاسبه شوند، در  $t_{n+\varphi}$  محاسبه می‌شوند. بنابراین، روش جابجاشده‌ی پس‌رونده‌ی اولر در بازه‌ی زمانی  $[t_{n+\varphi}, t_{n+1}]$  تبدیل به یک روش اصلی پس‌رونده‌ی اولر می‌شود که مسئله‌ی محاسبه‌ی تنش در آن به این صورت مطرح می‌شود:

برای مجموعه‌ی متغیرهای داده‌شده‌ی  $\{\varepsilon_{n+\varphi}, \varepsilon_{n+\varphi-1}^p, \bar{\varepsilon}_{n+\varphi-1}^p\}$ ، مجموعه‌ی متغیرهای  $\{\sigma_{n+\varphi}, \varepsilon_{n+\varphi}^p, \bar{\varepsilon}_{n+\varphi}^p\}$  باید محاسبه شوند. به دلیل آن که روش پس‌رونده‌ی اولر در حل مسائل غیرخطی بدون هیچ قیدی پایدار است،<sup>[۲۱]</sup> و آن که هیچ تفاوت پایه‌یی بین روش‌های اصلی و جابجاشده‌ی پس‌رونده‌ی اولر نیست، انتظار می‌رود که روش جابجاشده‌ی پس‌رونده‌ی اولر نیز بدون هیچ قیدی پایدار باشد. جهت سهولت در استخراج روابط، از نحوه‌ی نگارش روش اصلی پس‌رونده‌ی اولر  $(\varphi = 1)$  برای هر دو روش اصلی و جابجاشده استفاده شده است. برای مثال،  $\Delta \varepsilon^p$  به صورت رابطه‌ی ۲۳ بازنویسی می‌شود:

$$\Delta \varepsilon^p = \Delta \Upsilon \frac{\partial \varphi}{\partial \bar{\sigma}_{n+1}} \quad (23)$$

تنش مؤثر از رابطه‌ی ۲۴ به دست می‌آید:

$$\bar{\sigma}_{n+1} = \sigma_{n+1}^{tr} - (2G \Delta \varepsilon^p + \bar{\lambda} \Delta \bar{\theta}^p \mathbf{I}) \quad (24)$$

و با توجه به رابطه‌های ۱۳ و ۲۳،  $\Delta \varepsilon^p$  و  $\Delta \theta^p$  به صورت رابطه‌ی ۲۵ تعیین می‌شوند:

$$\Delta \varepsilon^p = \Delta \Upsilon \left( \sqrt{\frac{3}{2}} \frac{\bar{s}_{n+1}}{\|\bar{s}_{n+1}\|} + \frac{\alpha_p \mathbf{I}}{3} \right) \quad (25)$$

$$\Delta \bar{\theta}^p = \Delta \Upsilon \alpha_p$$

در حالت سه‌بعدی و یا کرنش صفحه‌یی  $\bar{\lambda} = \lambda$  و  $\Delta \bar{\theta}^p = \Delta \theta^p$ ، می‌توان رابطه‌ی ۱۹ را به صورت رابطه‌ی ۲۶ بازنویسی کرد:

$$\bar{\sigma}_{n+1} = \sigma_{n+1}^{tr} - \Delta \Upsilon \left[ 2G \left( \sqrt{\frac{3}{2}} \frac{\bar{s}_{n+1}}{\|\bar{s}_{n+1}\|} + \frac{\alpha_p \mathbf{I}}{3} \right) + \lambda \alpha_p \mathbf{I} \right] \quad (26)$$

با معرفی مدول حجمی  $K = \lambda + 2G/3$ ، رابطه‌ی ۲۷ به دست می‌آید:

$$\bar{\sigma}_{n+1} = \sigma_{n+1}^{tr} - \Delta \Upsilon \left( \sqrt{6} G \frac{\bar{s}_{n+1}}{\|\bar{s}_{n+1}\|} + K \alpha_p \mathbf{I} \right) \quad (27)$$

و با جداسازی بخش حجمی و انحرافی رابطه‌ی ۲۷، روابط ۲۸ به دست می‌آیند:

$$\frac{\bar{s}_{n+1}}{\|\bar{s}_{n+1}\|} = \frac{s_{n+1}^{tr}}{\|s_{n+1}^{tr}\|} \quad (28)$$

$$(\bar{I}_1)_{n+1} = (I_1^{tr})_{n+1} - 3K \Delta \Upsilon \alpha_p$$

$$\|\bar{s}_{n+1}\| = \|s_{n+1}^{tr}\| - \sqrt{6} G \Delta \Upsilon$$

در روابط ۲۸،  $s^{tr}$  و  $I_1^{tr}$  به ترتیب نمایانگر بخش انحرافی و نامتغیر اول تانسور تنش آزمون هستند. باید توجه داشت که روابط ۲۸ برای مسائل تنش صفحه‌یی معتبر نیست. با تکرار روندی که در پژوهش‌های پیشین<sup>[۲۲]</sup> توضیح داده شده است، مقادیر اصلی تنش مؤثر در گام جدید به صورت رابطه‌ی ۲۹ محاسبه می‌شوند:

$$\hat{\sigma}_{n+1} = \hat{\sigma}_{n+1}^{tr} - \Delta \Upsilon \left[ \frac{\sqrt{6} G \hat{\sigma}_{n+1}^{tr}}{\|\hat{s}_{n+1}^{tr}\|} - \left( \sqrt{\frac{2}{3}} \frac{G I_1^{tr}}{\|s_{n+1}^{tr}\|} - K \alpha_p \right) \mathbf{I} \right] \quad (29)$$

## ۲.۵. خطی‌سازی<sup>۱۹</sup> معادله‌ی تغییرات متغیر سخت‌شوندگی

حالت مجراشده‌ی رابطه‌ی تغییرات خرابی (رابطه‌ی ۳) به صورت روابط ۳۰ بازنویسی می‌شود:

$$\Delta \bar{\varepsilon}^p = \Delta \Upsilon \mathbf{H} (\hat{\sigma}_{n+1}, \bar{\varepsilon}_{n+1}^p) \rightarrow \bar{\varepsilon}_{n+1}^p = \bar{\varepsilon}_n^p + \Delta \Upsilon \mathbf{H} (\hat{\sigma}_{n+1}, \bar{\varepsilon}_{n+1}^p) \quad (30)$$

در این رابطه،  $\mathbf{H} = \mathbf{h} \cdot \nabla_{\hat{\sigma}} \phi$  متغیر سخت‌شوندگی  $\bar{\varepsilon}^p$ ، طی یک عملیات تکراری و از حل یک معادله‌ی غیرخطی (رابطه‌ی ۳۰) که تابعی از  $\bar{\varepsilon}^p$  و  $\hat{\sigma}$  است، محاسبه می‌شود. در طول این عملیات تکراری، حالت مجزای شرط سازگاری خمیری<sup>۲۰</sup> به عنوان یک قید اعمال می‌شود (رابطه‌ی ۳۱):

$$F(\bar{\sigma}_{n+1}, \bar{\varepsilon}_{n+1}^p) = 0 \quad (31)$$

جهت پیشگیری از پیچیدگی‌های نگارشی در روابط، از  $\Upsilon$  به جای  $\Delta \Upsilon$  استفاده شده است. به دلیل آن که رابطه‌ی ۳۰ یک معادله‌ی غیرخطی است، برای محاسبه‌ی  $\Upsilon$  و  $\bar{\varepsilon}^p$  تنش مؤثر، یک عملیات تکراری باید انجام شود. روش نیوتون-رافسن

به عنوان روش حل این معادله‌ی غیرخطی استفاده شده است. باقیمانده‌ی معادله‌ی ۳۰، از رابطه‌ی ۳۲ تعیین می‌شود:

$$\mathbf{Q}(\hat{\sigma}_{n+1}, \tilde{\epsilon}_{n+1}^p, \Upsilon_{n+1}) = -\tilde{\epsilon}_{n+1}^p + \tilde{\epsilon}_n^p + \Upsilon_{n+1} \mathbf{H}(\hat{\sigma}_{n+1}, \tilde{\epsilon}_{n+1}^p) \quad (32)$$

عملیات تکراری بر روی متغیر  $\tilde{\epsilon}_{n+1}^p$  از طریق روش نیوتون-رافسن صورت می‌پذیرد. برای این منظور ابتدا باید ماتریس ژاکوبین،  $\mathbf{K}$ ، محاسبه شود (رابطه‌ی ۳۳):

$$\mathbf{K}(\hat{\sigma}_{n+1}, \tilde{\epsilon}_{n+1}^p, \Upsilon_{n+1}) = \frac{d\mathbf{Q}}{d\tilde{\epsilon}_{n+1}^p} \quad (33)$$

برای محاسبه‌ی  $\mathbf{K}$ ، ابتدا  $d\mathbf{Q}$  محاسبه می‌شود (رابطه‌ی ۳۴):

$$d\mathbf{Q} = \frac{\partial \mathbf{Q}}{\partial \tilde{\epsilon}_{n+1}^p} d\tilde{\epsilon}_{n+1}^p + \frac{\partial \mathbf{Q}}{\partial \hat{\sigma}_{n+1}} d\hat{\sigma}_{n+1} + \frac{\partial \mathbf{Q}}{\partial \Upsilon_{n+1}} d\Upsilon_{n+1} \quad (34)$$

رابطه‌ی ۳۴ را می‌توان به صورت رابطه‌ی ۳۵ بازنویسی کرد:

$$d\mathbf{Q} = \left( \frac{\partial \mathbf{Q}}{\partial \tilde{\epsilon}_{n+1}^p} + \frac{\partial \mathbf{Q}}{\partial \hat{\sigma}_{n+1}} \frac{d\hat{\sigma}_{n+1}}{d\tilde{\epsilon}_{n+1}^p} + \frac{\partial \mathbf{Q}}{\partial \Upsilon_{n+1}} \frac{d\Upsilon_{n+1}}{d\hat{\sigma}_{n+1}} \frac{d\hat{\sigma}_{n+1}}{d\tilde{\epsilon}_{n+1}^p} \right) d\tilde{\epsilon}_{n+1}^p \quad (35)$$

ماتریس ژاکوبین نیز از رابطه‌ی ۳۶ محاسبه می‌شود:

$$\mathbf{K} = \frac{\partial \mathbf{Q}}{\partial \tilde{\epsilon}_{n+1}^p} + \frac{\partial \mathbf{Q}}{\partial \hat{\sigma}_{n+1}} \frac{d\hat{\sigma}_{n+1}}{d\tilde{\epsilon}_{n+1}^p} + \frac{\partial \mathbf{Q}}{\partial \Upsilon_{n+1}} \frac{d\Upsilon_{n+1}}{d\hat{\sigma}_{n+1}} \frac{d\hat{\sigma}_{n+1}}{d\tilde{\epsilon}_{n+1}^p} \quad (36)$$

مشتقات موجود در رابطه‌ی ۳۶ عبارت‌اند از (رابطه‌های ۳۷ الی ۴۱):

$$\frac{\partial \mathbf{Q}}{\partial \tilde{\epsilon}_{n+1}^p} = \Upsilon_{n+1} \frac{\partial \mathbf{H}}{\partial \tilde{\epsilon}_{n+1}^p} - \mathbf{I} \quad (37)$$

$$\frac{\partial \mathbf{Q}}{\partial \hat{\sigma}_{n+1}} = \Upsilon_{n+1} \frac{\partial \mathbf{H}}{\partial \hat{\sigma}_{n+1}} \quad (38)$$

$$\frac{\partial \mathbf{Q}}{\partial \Upsilon_{n+1}} = \mathbf{H} \quad (39)$$

$$d\hat{F} = \nabla_{\hat{\sigma}} \hat{F} d\hat{\sigma}_{n+1} + \nabla_{\tilde{\epsilon}^p} \hat{F} d\tilde{\epsilon}_{n+1}^p = 0 \rightarrow \frac{d\hat{\sigma}_{n+1}}{d\tilde{\epsilon}_{n+1}^p} = -\frac{\nabla_{\tilde{\epsilon}^p} \hat{F}}{\nabla_{\hat{\sigma}} \hat{F}} \quad (40)$$

$$\frac{d\Upsilon_{n+1}}{d\hat{\sigma}_{n+1}} = \frac{1}{\frac{d\hat{\sigma}_{n+1}}{d\Upsilon_{n+1}}} \quad (41)$$

پس از محاسبه‌ی  $\mathbf{Q}$  و  $\mathbf{K}$ ، متغیر سخت‌شوندگی به صورت رابطه‌ی ۴۲ اصلاح می‌شود:

$$\delta \tilde{\epsilon}^p = -[\mathbf{K}(\hat{\sigma}_{n+1}, \tilde{\epsilon}_{n+1}^p, \Upsilon_{n+1})]^{-1} \mathbf{Q}(\hat{\sigma}_{n+1}, \tilde{\epsilon}_{n+1}^p, \Upsilon_{n+1})$$

$$\tilde{\epsilon}_{n+1}^{p(j+1)} = \tilde{\epsilon}_{n+1}^{p(j)} + \delta \tilde{\epsilon}^p \quad (42)$$

### ۳.۵. محاسبه‌ی تنش برای حالت سه‌بعدی و یا کرنش صفحه‌یی

با توجه به آن که رابطه‌ی ۲۸ برای حالت‌های سه‌بعدی و یا کرنش صفحه‌یی معتبر است، با استفاده از حالت طیفی ۲۱ تنش مؤثر اصلی در رابطه‌ی ۲۹، در مسائل سه‌بعدی و یا کرنش صفحه‌یی یک رابطه‌ی نگاشت بازگرداننده صریح برای محاسبه‌ی

$\Upsilon$  به دست می‌آید. در نتیجه، در حالت سه‌بعدی و یا کرنش صفحه‌یی  $\tilde{\epsilon}_{n+1}^p$ ، یگانه متغیری است که در حل معادله‌ی غیرخطی باید عملیات تکرار بر روی آن انجام شود. برای یک متغیر سخت‌شوندگی مفروض، تنش مؤثر به گونه‌یی محاسبه می‌شود که شرط سازگاری خمیری ۳۱ را ارضا کند. حالت مجزاشده‌ی تابع تسلیم (رابطه‌ی ۷) به صورت رابطه‌ی ۴۳ بیان می‌شود:

$$F(\hat{\sigma}_{n+1}, \tilde{\epsilon}_{n+1}^p) = \alpha (\bar{I}_1)_{n+1} + \sqrt{\frac{3}{2}} \|\bar{s}_{n+1}\| + [\beta (\tilde{\epsilon}_{n+1}^p) H(\hat{\sigma}_{\max}) + \gamma H(-\hat{\sigma}_{\max})] (\hat{\sigma}_{\max})_{n+1} - (1 - \alpha)(c_c)_{n+1} \quad (43)$$

در این رابطه  $H$  تابع هویساید ۲۲ است. با جای‌گذاری روابط ۲۸ و ۲۹ در رابطه‌ی ۴۳، مقدار  $\Upsilon$  به صورت رابطه‌ی ۴۴ تعیین می‌شود:

$$\Upsilon = \frac{\alpha (I_1^{tr})_{n+1} + \sqrt{\frac{3}{2}} \|s_{n+1}^{tr}\| + (\bar{\beta} + \bar{\gamma}) (\hat{\sigma}_{\max}^{tr})_{n+1} - (1 - \alpha)(c_c)_{n+1}}{2K\alpha_p\alpha + 2G + (\bar{\beta} + \bar{\gamma}) \left[ \frac{\sqrt{6}G(\hat{\sigma}_{\max}^{tr})_{n+1}}{\|s_{n+1}^{tr}\|} - \sqrt{\frac{3}{2}} \frac{GI_1^{tr}}{\|s_{n+1}^{tr}\|} + K\alpha_p \right]} \quad (44)$$

در این رابطه  $\bar{\beta} = \beta_{n+1}H((\hat{\sigma}_{\max})_{n+1})$  و  $\bar{\gamma} = \gamma H((-\hat{\sigma}_{\max})_{n+1})$ . شکل ۶، فلوچارت نحوه‌ی انجام محاسبات را نمایش می‌دهد.

## ۶. صحت‌سنجی

در این قسمت، به منظور صحت‌سنجی پیاده‌سازی مدل خمیری-خسارت در حالت سه‌بعدی، نتایج به‌دست‌آمده از برنامه‌ی تهیه‌شده و نرم‌افزار آباکوس در یک المان ۸ گره‌یی مکعبی (با ۸ نقطه‌ی گوسی) تحت بارگذاری‌های مختلف با یکدیگر مقایسه می‌شوند. خصوصیات بتن، مشابه خصوصیات تعریف‌شده در مثال دوم نوشتار لی و فنوس<sup>[۱۲]</sup> در نظر گرفته شده و به منظور رسم منحنی‌های تک‌محوره‌ی کششی و فشاری از روابط و مقادیر ارائه‌شده در آن نوشتار استفاده شده است (جدول ۴). در این جدول،  $E_c$  مدول ارتجاعی اولیه،  $f_t^0$  و  $f_c^0$  به ترتیب تنش تسلیم اولیه در حالت کششی و فشاری،  $f_c^1$  مقاومت فشاری مشخصه‌ی بتن،  $G_t$  انرژی شکست در حالت تک‌محوره‌ی کششی و  $l_t$  طول مشخصه<sup>۲۳</sup> است. علاوه بر مشخصات ارائه‌شده که برای نمایش نمودارهای تک‌محوره موردنیاز هستند، سایر خصوصیات ماده در جدول ۵ ارائه شده‌اند.

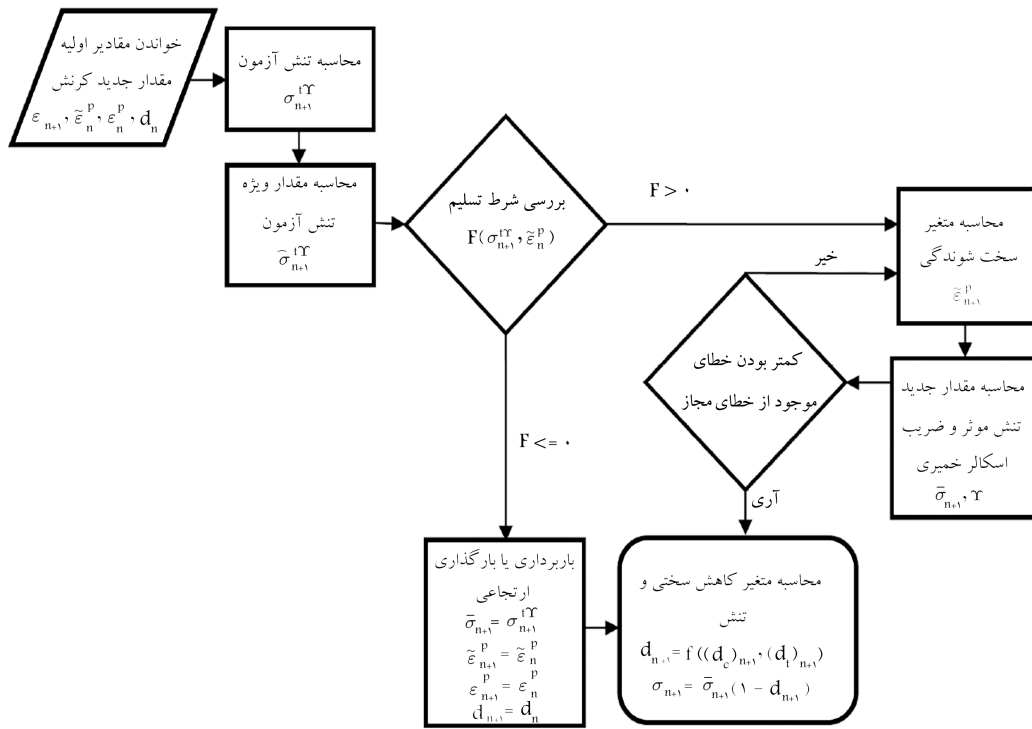
جهت مشاهده‌ی بخش نرم‌شونده (پس از مقاومت بیشینه)، بار به صورت تغییرمکان به المان وارد می‌شود. شکل‌های ۷ و ۸ به ترتیب منحنی تک‌محوره‌ی

جدول ۴. مشخصات بتن جهت رسم منحنی‌های تک‌محوره‌ی فشاری و کششی بتن.

$E_c$	$f_t^0$	$f_c^0$	$f_c^1$	$G_t$	$l_t$
(GPa)	(MPa)	(MPa)	(MPa)	(N/m)	(mm)
۳۱	۳٫۴۸	۱۸	۲۷٫۶	۴۰	۸۲٫۶

جدول ۵. مشخصات مکانیکی بتن.

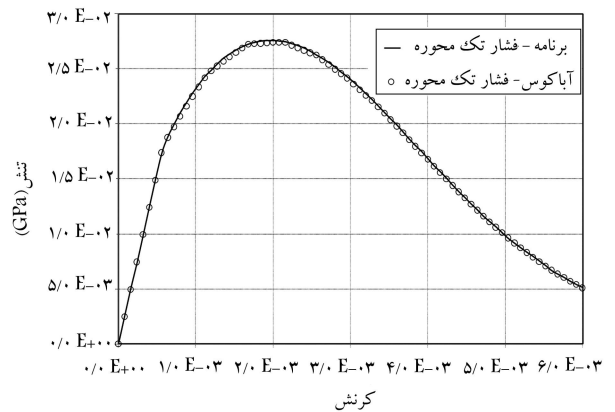
$\nu$	$\alpha$	$\alpha_p$	$W_t$	$W_c$	$K_c$
۰٫۱۵	۰٫۱۱	۰٫۶	۰	۱	۱



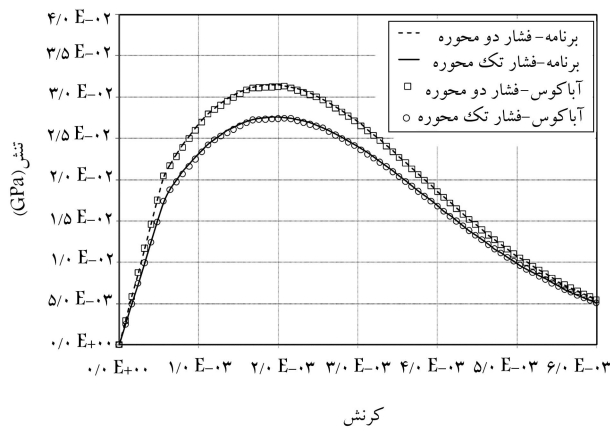
شکل ۶. فلوچارت پیاده‌سازی عددی مدل خمیری - خسارت.

فشاری و کششی را در برنامه‌ی تهیه‌شده و آباکوس با یکدیگر مقایسه می‌کنند. در شکل‌های ۹ و ۱۰ به ترتیب منحنی دومی محوری فشاری و کششی، با مقدار فشار و کشش یکسان در ۲ جهت بررسی شده‌اند. شکل ۱۱، منحنی سه‌محوری فشاری را مورد بررسی قرار می‌دهد که در آن المان از ۲ جهت بسته‌شده و در جهت سوم تغییر مکان محوری فشاری به آن وارد می‌شود. شکل ۱۲، شرایطی مشابه شکل ۱۱ دارد، با این تفاوت که تغییر مکان به صورت کششی به آن وارد می‌شود. اگر به جای  $K_c = 1$  از  $K_c = 2/3$  استفاده کنیم،  $\gamma$  به جای صفر برابر ۳ می‌شود. نتایج بارگذاری سه‌محوره (محصور شده) فشاری برای این حالت در شکل ۱۳ نمایش داده شده است.

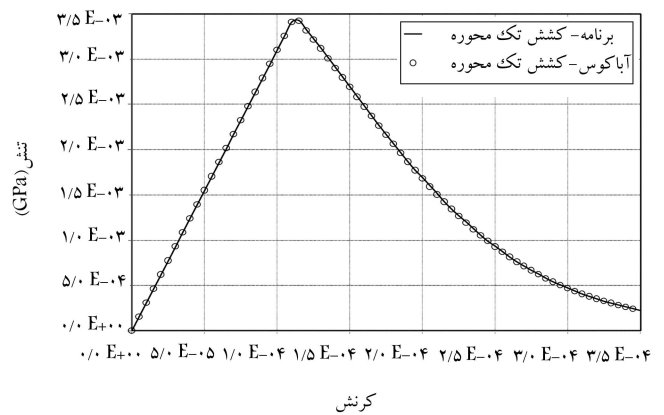
حال با توجه به آن که صحت پیاده‌سازی مدل خمیری - خسارت در حالت سه‌بعدی تأیید شده است، در تحلیل‌های مورد نیاز از نرم‌افزار تهیه‌شده استفاده می‌شود.



شکل ۷. منحنی تک محوره‌ی فشاری.



شکل ۹. منحنی دومی محوره‌ی فشاری.



شکل ۸. منحنی تک محوره‌ی کششی.

## ۷. نتایج

### ۱.۷. اثر درصد حجمی کل سنگدانه‌ها بر روی مقاومت فشاری

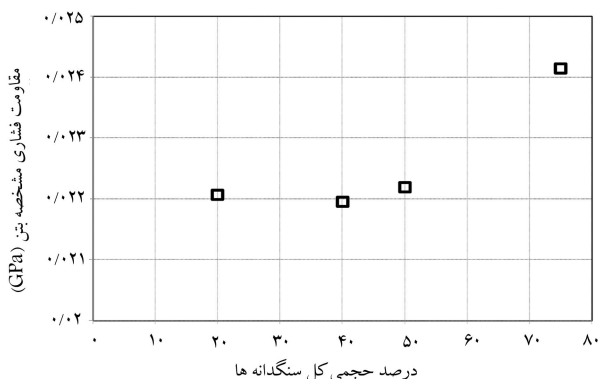
#### مشخصه‌ی بتن

اثر درصد حجمی کل سنگدانه‌ها در مقاومت فشاری مشخصه‌ی بتن بررسی شده است. هندسه و شبکه‌بندی اجزای محدود نمونه‌های مورد استفاده، در قسمت دوم ارائه شده‌اند. مقاومت فشاری مشخصه‌ی بتن تا درصد حجمی در حدود ۵۰٪ دارای تغییرات اندکی است. با افزایش درصد حجمی کل سنگدانه‌ها از مقداری در حدود ۵۰٪، مقاومت فشاری مشخصه‌ی بتن به مقدار قابل توجهی افزایش می‌یابد (شکل ۱۴). این نتایج با نتایج گزارش شده در پژوهش‌های پیشین<sup>[۲۵،۹]</sup> مطابقت دارد.

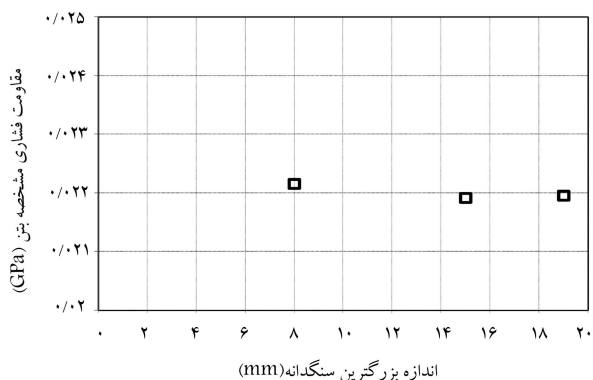
### ۲.۷. اثر اندازه‌ی بزرگ‌ترین سنگدانه بر روی مقاومت فشاری

#### مشخصه‌ی بتن

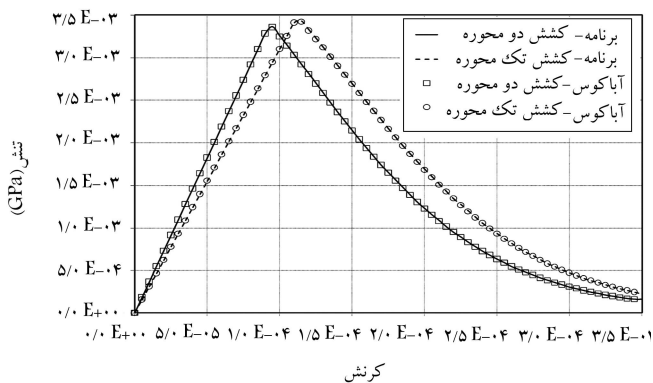
در این قسمت، اثر اندازه‌ی بزرگ‌ترین سنگدانه بر روی مقاومت فشاری مشخصه‌ی بتن بررسی می‌شود. هندسه‌ی این نمونه‌ها در قسمت دوم نمایش داده شده‌اند. تغییرات مقاومت فشاری مشخصه‌ی بتن با اندازه‌ی بزرگ‌ترین سنگدانه در شکل ۱۵ نشان داده شده است. نتایج نشان می‌دهند که این پارامتر تأثیر اندکی در مقدار مقاومت فشاری مشخصه‌ی بتن می‌گذارد. این نتایج با نتایج ارائه شده در پژوهش‌های پیشین<sup>[۲۵،۹]</sup> تطابق خوبی دارد.



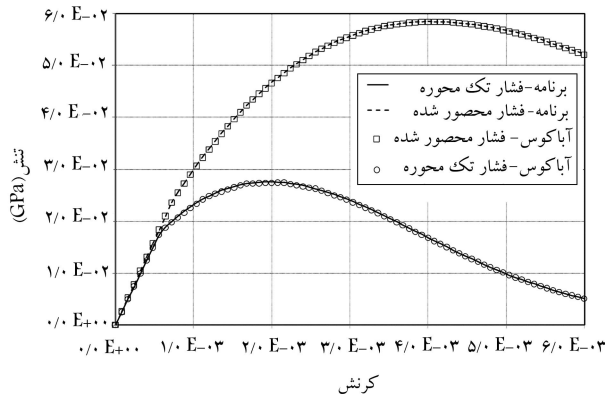
شکل ۱۴. اثر درصد حجمی کل سنگدانه‌ها بر روی مقاومت فشاری مشخصه‌ی بتن.



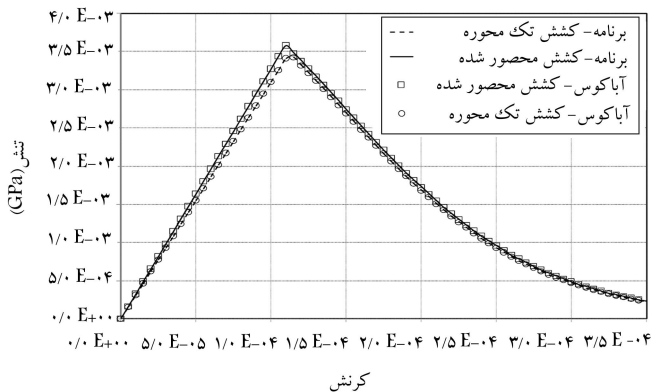
شکل ۱۵. اثر اندازه‌ی بزرگ‌ترین سنگدانه بر روی مقاومت فشاری مشخصه‌ی بتن.



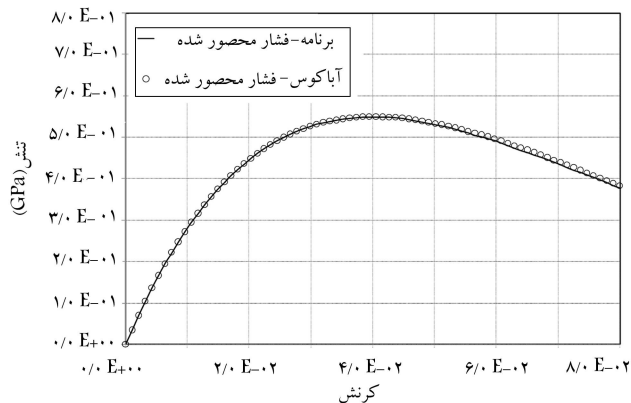
شکل ۱۰. منحنی دوماحوره‌ی کششی.



شکل ۱۱. منحنی سه‌محوره‌ی (محصور شده) فشاری.



شکل ۱۲. منحنی سه‌محوره‌ی (محصور شده) کششی.



شکل ۱۳. منحنی سه‌محوره‌ی (محصور شده) فشاری برای  $K_c = 2/3$ .

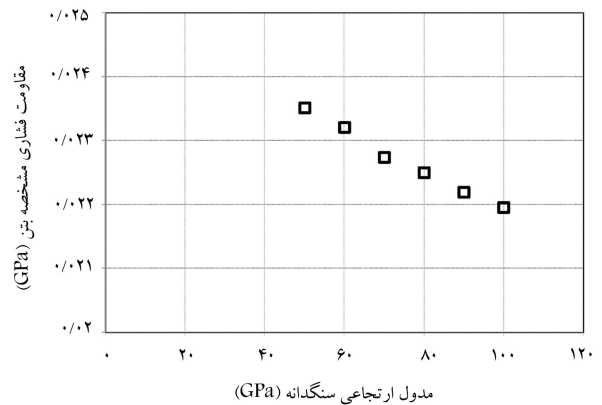


دیگر با افزایش مدول ارتجاعی سنگدانه، مدول ارتجاعی بتن نیز افزایش می‌یابد.

## ۸. نتیجه‌گیری

در این تحقیق، ریزساختار بتن توسط یک مدل دوفازی اجزای محدود شامل ملات و سنگدانه‌های درشت شبیه‌سازی شده است. الگ شماره‌ی ۴ (با قطر سوراخ‌های برابر ۴٫۷۵ میلی‌متر) به‌عنوان مرز بین سنگدانه‌های درشت و ریز فرض شده است، بنابراین سنگدانه‌های با قطر کوچک‌تر از ۴٫۷۵ میلی‌متر به‌عنوان قسمتی از فاز ملات همگن شده در نظر گرفته می‌شوند. حد بالای اندازه‌ی سنگدانه‌ی ۱۹ میلی‌متر و منحنی دانه‌بندی فولر فرض شده است. روش آکندن بازدارنده‌ی متوالی ساده<sup>[۱۷]</sup> برای چیدن سنگدانه‌ها در فضای نمونه‌های به کار رفته است. در نهایت، مدل‌های دوفازی با استفاده از المان‌های ۴ گره‌یی هرمی شکل مش‌بندی شده‌اند. رفتار سنگدانه‌ها به‌صورت ارتجاعی خطی در نظر گرفته شده است و از مدل خمیری-خسارت برای بیان رفتار ملات استفاده می‌شود. نحوه‌ی پیاده‌سازی مدل خمیری-خسارت ارائه و برای یک المان صحت‌سنجی انجام شده است.

در گام نهایی اثر درصد حجمی سنگدانه، اندازه‌ی بزرگ‌ترین سنگدانه و مدول ارتجاعی سنگدانه بر روی مقاومت فشاری مشخصه‌ی بتن مطالعه شده است. مشاهده می‌شود که مقاومت فشاری مشخصه‌ی بتن تا درصد حجمی در حدود ۵٪ دارای تغییرات اندکی است. با افزایش درصد حجمی کل سنگدانه‌ها از مقداری در حدود ۵٪، مقاومت فشاری مشخصه‌ی بتن به مقدار قابل توجهی افزایش می‌یابد. علاوه بر این نتایج نشان می‌دهند که اندازه‌ی بزرگ‌ترین سنگدانه، تأثیر اندکی در مقدار مقاومت فشاری مشخصه‌ی بتن می‌گذارد. در نهایت مشاهده می‌شود که افزایش مدول ارتجاعی سنگدانه باعث کاهش مقدار مقاومت فشاری مشخصه‌ی بتن می‌شود. این نتایج با مشاهدات عددی و تجربی سایر پژوهشگران مطابقت دارد.



شکل ۱۶. اثر مقدار مدول ارتجاعی سنگدانه در مقاومت فشاری مشخصه‌ی بتن.

## ۳.۷. اثر مقدار مدول ارتجاعی سنگدانه در مقاومت فشاری

### مشخصه‌ی بتن

جهت بررسی اثر مدول ارتجاعی سنگدانه در مقاومت فشاری مشخصه‌ی بتن، نمونه با درصد حجمی کل سنگدانه برابر ۷۰٪ انتخاب شده است. شکل ۱۶، مقادیر مقاومت فشاری مشخصه‌ی بتن در برابر مدول ارتجاعی سنگدانه‌ها را نمایش می‌دهد. مشاهده می‌شود که افزایش مدول ارتجاعی سنگدانه باعث کاهش مقدار مقاومت فشاری مشخصه‌ی بتن می‌شود. افزایش مدول ارتجاعی سنگدانه باعث افزایش تمرکز تنش در اطراف سنگدانه می‌شود. با توجه به آن که در بتن، خسارت در ملات رخ می‌دهد، این تمرکز تنش منجر به کاهش مقدار مقاومت فشاری مشخصه‌ی بتن می‌شود. باید توجه کرد که مدول ارتجاعی بتن متأثر از مدول ارتجاعی سنگدانه‌هاست. به عبارت

## پانویس‌ها

1. plastic-damage
2. interfacial transition zone (ITZ)
3. interface elements
4. matrix
5. discretize
6. lattice
7. microplane
8. representative volume element (RVE)
9. simple sequential inhibition
10. non-associated
11. dilatancy
12. return-mapping
13. ABAQUS
14. time discretization
15. mid-point
16. Lamé's constant
17. trial stress
18. shifted backward-Euler
19. linearization

20. plastic consistency condition
21. spectral form
22. Heaviside
23. characteristic length

## منابع (References)

1. Caballero, A., Lopez, C.M. and Carol, I. "3D meso-structural analysis of concrete specimens under uniaxial tension", *Computer Methods in Applied Mechanics and Eng.*, **195**(52), pp. 7182-7195 (2006).
2. Lopez, C.M., Carol, I. and Aguado, A. "Meso-structural study of concrete fracture using interface elements. I: Numerical model and tensile behavior", *Materials and Structures*, **41**(3), pp. 583-599 (2008).
3. Bazant, Z.P., Tabbara, M.R., Kazemi, M.T. and Pijaudier-Cabot, G. "Random particle model for frac-

- ture of aggregate or fiber composites”, *J. of Eng. Mechanics*, **116**(8), pp. 1686-1705 (1990).
4. Schlangen, E. and van Mier, J.G.M. “Simple lattice model for numerical simulation of fracture of concrete materials and structures”, *Materials and Structures*, **25**(9), pp. 534-542 (1992).
  5. Cusatis, G., Bazant, Z.P. and Cedolin, L. “Confinement-shear lattice model for concrete damage in tension and compression: II. Computation and validation”, *J. of Eng. Mechanics*, **129**(12), pp. 1449-1458 (2003).
  6. Wittmann, F.H., Roelfstra, P.E. and Sadouki, H. “Simulation and analysis of composite structures”, *Materials Science and Eng.*, **68**(2), pp. 239-248 (1984).
  7. Grassl, P. and Rempling, R. “A damage-plasticity interface approach to the meso-scale modelling of concrete subjected to cyclic compressive loading”, *Eng. Fracture Mechanics*, **75**(16), pp. 4804-4818 (2008).
  8. Skarzynski, L. and Tejchman, J. “Calculations of fracture process zones on meso-scale in notched concrete beams subjected to three-point bending”, *European J. of Mechanics A/Solids*, **29**(4), pp. 746-760 (2010).
  9. Comby-Peyrot, I., Bernard, F., Bouchard, P., Bay, F. and Garcia-Diaz, E. “Development and validation of a 3D computational tool to describe concrete behaviour at mesoscale. Application to the alkali-silica reaction”, *Computational Materials Science*, **46**, pp. 1163-1177 (2009).
  10. Dupray, F., Malecot, Y., Daudeville, L. and Buzaud, E. “A mesoscopic model for the behaviour of concrete under high confinement”, *Int. J. for Numerical and Analytical Methods in Geomechanics*, **33**(11), pp. 1407-1423 (2009).
  11. Wriggers, P. and Moftah, S.O. “Mesoscale models for concrete: Homogenisation and damage behaviour”, *Finite Elements in Analysis and Design*, **42**, pp. 623-636 (2006).
  12. Lee, J. and Fenves, G.L. “Plastic-damage model for cyclic loading of concrete structures”, *J. of Eng. Mechanics*, **124**(8), pp. 892-900 (1998).
  13. Hibbitt, D., Karlsson, B. and Sorensen, P., *ABAQUS Analysis User's Manual Version 6.9*, Hibbitt, Karlsson & Sorensen Inc., USA (2009).
  14. Cusatis, G., Bazant, Z.P. and Cedolin, L. “Confinement-shear lattice CSL model for fracture propagation in concrete”, *Computer Methods in Applied Mechanics and Eng.*, **195**, pp. 7154-7171 (2006).
  15. Zhou, X.Q. and Hao, H. “Mesoscale modelling and analysis of damage and fragmentation of concrete slab under contact detonation”, *Int. J. of Impact Eng.*, **36**, pp. 1315-1326 (2009).
  16. Grassl, P. and Jirasek, M. “Meso-scale approach to modelling the fracture process zone of concrete subjected to uniaxial tension”, *Int. J. of Solids and Structures*, **47**(7-8), pp. 957-968 (2010).
  17. Bagi, K. “An algorithm to generate random dense arrangements for discrete element simulations of granular assemblies”, *Granular Matter*, **7**(1), pp. 31-43 (2005).
  18. Lubliner, J., Oliver, J., Oller, S. and Onate, E. “A plastic-damage model for concrete”, *Int. J. of Solids and Structures*, **25**(3), pp. 299-326 (1989).
  19. Lee, J. and Fenves, G.L. “A return-mapping algorithm for plastic-damage models: 3-D and plane stress formulation”, *Int. J. for Numerical Methods in Eng.*, **50**(2), pp. 487-506 (2001).
  20. Hilber, H.M., Hughes, T.J.R. and Taylor, R.L. “Improved numerical dissipation for time integration algorithms in structural dynamics”, *Earthquake Eng. and Structural Dynamics*, **5**(3), pp. 283-292 (1977).
  21. Simo, J.C. “Algorithms for static and dynamic multiplicative plasticity that preserve the classical return mapping schemes of the infinitesimal theory”, *Computer Methods in Applied Mechanics and Eng.*, **99**(1), pp. 61-112 (1992).
  22. Simo, J.C. “Nonlinear stability of the time-discrete variational problem of evolution in nonlinear heat conduction, plasticity and viscoplasticity”, *Computer Methods in Applied Mechanics and Eng.*, **88**(1), pp. 111-131 (1991).
  23. Yaghobi, M., “Simulation of concrete meso-structure within FEM/CDM frame work”, MSc thesis, sharif University of Technology, Tehran, Iran, (In Persian)(2011).
  24. Stock, A.F., Hannant, D.J. and Williams, R.I.T. “The effect of aggregate concentration upon the strength and modulus of elasticity of concrete”, *Magazine of Concrete Research*, **31**, pp. 225-234 (1979).
  25. Cordon, W.A. and Gillepsie, H.A. “Variables in concrete aggregates and portland cement paste which influence the strength of concrete”, *J. of the American Concrete Institute*, **60**(8), pp. 1029-1052 (1963).

# NUMERICAL STUDY OF MESOSTRUCTURE EFFECTS ON CONCRETE COMPRESSIVE STRENGTH

**M.R. Yaghoobi**

mohammadreza.yaghoobi@gmail.com

**Dept. of Civil Engineering  
Sharif University of Technology**

**S. Shahbeyk**(corresponding author)

shahbeyk@modares.ac.ir

**Faculty of Civil and Environmental Engineering  
Tarbiat Modares University**

**A. Vafai**

vafai@sharif.edu

**Dept. of Civil Engineering  
Sharif University of Technology**

Sharif Civil Engineering Journal

Volume 29, Issue 2, Page 61-70, Original Article

© Sharif University of Technology

- Received 15 March 2011; received in revised form 12 December 2011; accepted 24 December 2011.

## Abstract

In the present paper, the detailed mesostructure of concrete is geometrically generated and its compressive strength is numerically estimated using the 3D finite element method. The models contain two phases of mortar and coarse aggregates. The FE models of concrete are cubic in shape, with a side length of 80 mm. Aggregates are assumed to be spherical and behave in a linear elastic manner. The famous Fuller formula is utilized for the aggregate grading curve, and the simple sequential inhibition (SSI) technique is employed to fill the concrete cubes with the particles. Only aggregates bigger than 4.75 mm in diameter (gravel) are modeled, i.e., the particles smaller than 4.75 mm in diameter (sand) are not considered individually and assumed to be part of the homogenized nonlinear cement paste. A modified version of the plastic-damage model, proposed by Lee and Fenves [J. Lee, G.L. Fenves, *International Journal for Numerical Methods in Engineering* 50 (2001) 487-506], has been adopted to simulate the inelastic response of the mortar. This constitutive model incorporates two independent hardening variables, namely; equivalent tensile and compressive plastic strains, and, thus, is capable of tracing damage evolution due to both tensile cracking and compressive crushing. In the first stage, the numerical implementation of the plastic-damage model is presented and then its validity is examined in a 3D FE element. Next, the effects of aggregate volume frac-

tion, aggregate maximum diameter, and aggregate elastic modulus on concrete compressive strength are studied. It is shown that: (1) compressive strength remains constant for specimens with aggregate volume fractions of up to 50%, and then increases significantly with grain content, (2) for the range of aggregate volume fractions studied in this paper, the maximum aggregate size has little influence on compressive strength, and (3) any increase in the elastic modulus of aggregates accentuates stress concentration near the aggregates, and, thus, reduces the compressive strength of concrete samples. Finally, the results are satisfactorily compared with those presented by other researchers.

**Key Words:** Mesostructure, compressive strength, concrete, finite element method, plastic-damage.